

О ХАРАКТЕРНОЙ СКОРОСТИ ГОРЕНИЯ СМЕСЕВОГО ПОРОХА

В. Б. Ливрович

(Москва)

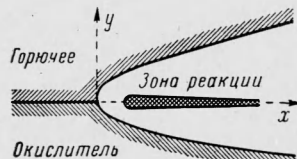
Скорость горения смесевого пороха, как известно, зависит от степени измельченности окислителя. При увеличении среднего размера частиц окислителя скорость горения уменьшается и затем стремится к некоторой постоянной величине, зависящей лишь от физико-химических свойств компонентов пороха. Этой характерной скоростью определяется распространение горения на границе между бесконечными массами горючего и окислителя. В работе показывается, как в этом наиболее простом случае скорость горения связывается с физико-химическими и кинетическими характеристиками реагирующих веществ¹.

§ 1. Рассмотрим стационарное распространение горения в случае, когда поверхность соприкосновения горючего и окислителя является плоскостью. При этом можно рассматривать процесс в любом сечении, перпендикулярном к плоскости соприкосновения компонент пороха. При горении в твердом веществе вырабатывается поверхность, на которой происходит газификация твердого вещества. Продукты газификации горючего диффундируют в зону химической реакции, где, встречаясь с продуктами газификации окислителя, высвобождают тепло. Тепло поступает к поверхности твердого вещества и в свою очередь поддерживает газификацию. На фиг. 1 дана схема расположения поверхности газификации и зоны реакции.

Горение газообразных продуктов разложения окислителя и горючего является диффузионным горением газов, теория которого в настоящее время разработана достаточно полно. Я. Б. Зельдовичем было показано [1], что, если предположить равенство коэффициентов диффузии и коэффициента температуропроводности и считать скорость химической реакции бесконечно большой, то горение газов будет происходить в бесконечно узкой зоне при температуре, равной температуре горения стехиометрической гомогенной смеси. Положение зоны горения определяется из условия, чтобы диффузия газов обеспечила в этом месте стехиометрическое соотношение между горючими компонентами. При этом распределения концентраций компонентов вне зоны горения подобны распределению температуры.

Примем предположения, сделанные Я. Б. Зельдовичем. Кроме того, предположим, что все физико-химические свойства окислителя и горючего являются одинаковыми и не зависящими от температуры. В этих предположениях профиль поверхности газификации будет симметричным, а зона реакции будет располагаться по оси симметрии.

Будем рассматривать процесс в системе координат, движущейся вместе с зоной горения. Ось x направим по оси симметрии в сторону, противоположную направлению движения зоны, а ось y — перпендикулярно к направлению движения, как показано на фиг. 1. Зону химической реак-



Фиг. 1

¹ При увеличении размера частиц окислителя на распространение горения существенно влияет также увеличение перемычек горючего между отдельными частицами окислителя. Устойчивое горение при больших размерах частиц поддерживается при упорядоченном распределении частиц в массе горючего.

ции будем считать простирающейся от $x = 0$ до $x = \infty$. Кроме того, в силу симметрии ограничимся рассмотрением области $y \geq 0$.

В зоне химической реакции при бесконечной скорости реакции концентрации горючих компонентов обращаются в нуль, а температура равняется температуре горения стехиометрической смеси T_b . На поверхности газификации относительная концентрация горючего компонента постоянная¹, а температура равна температуре фазового перехода, которую будем считать тоже постоянной и равной T_* .

Напишем уравнения теплопроводности для твердого вещества и для газа (в силу подобия можно не рассматривать уравнений диффузии)

$$\rho_s c_s V_s \frac{\partial T_s}{\partial x} = \lambda_s \left(\frac{\partial^2 T_s}{\partial x^2} + \frac{\partial^2 T_s}{\partial y^2} \right), \quad \rho c V \frac{\partial T}{\partial x} = \lambda \left(\frac{\partial^2 T}{\partial x^2} + \frac{\partial^2 T}{\partial y^2} \right) \quad (1.1)$$

Здесь T — температура, λ — коэффициент теплопроводности, ρ — плотность, c — теплоемкость, V — скорость по оси x , индекс s относится к твердому веществу, величины без индекса характеризуют газ.

При написании второго уравнения было предположено, что при газификации твердого вещества сохраняется поток вещества по оси

$$\rho_s V_s = \rho V = j = \text{const} \quad (1.2)$$

Это означает, что пренебрегается прилипанием газа к твердой поверхности (газ считается идеальным). Из условия (1.2) также следует, что нет потока газа по оси y . (Это видно из уравнения неразрывности.) Принятое предположение является грубым предположением, так как теплопроводность и вязкость величины одного порядка в газе, но оно, однако, позволяет выяснить характерные особенности явления.

Потребуем, чтобы решения уравнений (1.1) удовлетворяли следующим граничным условиям для $x > 0$:

$$y = \infty, \quad T_s = T_0; \quad y = l(x), \quad T_s = T_*, \quad T = T_*; \quad y = 0, \quad T = T_b \quad (1.3)$$

Здесь $y = l(x)$ — граница газификации твердого вещества. На поверхности газификации, кроме того, должно выполняться условие сохранения потока тепла

$$\begin{aligned} \lambda_s \frac{\partial T_s}{\partial x} \frac{dl}{dx} - \lambda_s \frac{\partial T_s}{\partial y} - jc_s (T_* - T_0) \frac{dl}{dx} + jq \frac{dl}{dx} = \\ = \lambda \frac{\partial T}{\partial x} \frac{dl}{dx} - \lambda \frac{\partial T}{\partial y} - jc (T_* - T_0) \frac{dl}{dx} \end{aligned} \quad (1.4)$$

Здесь q — теплота газификации твердого вещества.

§ 2. Движение зоны горения по твердому веществу подобно движению раскаленной поверхности, нагретой до постоянной температуры. Естественно ожидать поэтому, что температурный профиль, вырабатываемый при этом в твердом веществе, похож на тепловой пограничный слой. Предположим, что этот слой тонок. Тогда в уравнениях (1.1) можно пренебречь членами, описывающими продольный кондуктивный перенос тепла, подобно тому как это делается в уравнениях пограничного слоя. Соответствующее пренебрежение продольным кондуктивным переносом тепла следует сделать и в условии (1.4). Уравнения (1.1) и условие (1.4) примут вид

$$j \frac{\partial T_s}{\partial x} = \frac{\lambda_s}{c_s} \frac{\partial^2 T_s}{\partial y^2}, \quad j \frac{\partial T}{\partial x} = \frac{\lambda}{c} \frac{\partial^2 T}{\partial y^2} \quad (2.1)$$

$$\lambda_s \frac{\partial T_s}{\partial y} - \lambda \frac{\partial T}{\partial y} + j [(c_s - c) (T_* - T_0) - q] \frac{dl}{dx} = 0 \quad (2.2)$$

¹ В том, что концентрация на поверхности постоянна, можно убедиться, решив методом, описанным ниже, уравнение диффузии горючего компонента и определив концентрацию из условия непрерывности потока вещества на границе газификации.

Легко видеть, что уравнения (2.1) при учете условий (1.3) имеют автомодельное решение, зависящее от переменной y/\sqrt{x} . (В этом можно удостовериться, например, сделав замену переменных $y_1 = \tau y$ и $x_1 = \tau^2 x$ и убедившись, что при этом уравнение, граничные условия и условия на поверхности газификации сохраняют свой вид.) Для удобства в качестве независимой переменной выберем безразмерную комбинацию

$$\eta = \frac{1}{2} \sqrt{\frac{c_s}{\lambda}} \frac{y}{\sqrt{x}} \quad (2.3)$$

Переходя к этой переменной, получим из (2.1) соответственно

$$\frac{\lambda_s}{\lambda} \frac{c}{c_s} \frac{d^2 T_{\xi}}{d\eta^2} + 2\eta \frac{dT_{\xi}}{d\eta} = 0, \quad \frac{d^2 T}{d\eta^2} + 2\eta \frac{dT}{d\eta} = 0 \quad (2.4)$$

Границные условия преобразуются в

$$\eta = \infty, \quad T_s = T_0; \quad \eta = \eta_0, \quad T_s = T_*; \quad T = T_*; \quad \eta = 0, \quad T = T_b \quad (2.5)$$

Здесь η_0 характеризует поверхность газификации твердого вещества. Решения уравнения (2.4) имеют следующий вид:

$$T_s - T_0 = (T_* - T_0) \frac{1 - \Phi(\beta\eta)}{1 - \Phi(\beta\eta_0)} \quad \left(\beta = \sqrt{\frac{\lambda}{\lambda_s} \frac{c_s}{c}} \right) \quad (2.6)$$

$$T_b - T = (T_b - T_*) \frac{\Phi(\eta)}{\Phi(\eta_0)} \quad \left(\Phi(z) \equiv \frac{2}{\sqrt{\pi}} \int_0^z e^{-t^2} dt \right) \quad (2.7)$$

Для определения параметра η_0 используем условие (2.2). Подставляя в него уравнение границы газификации

$$y = l(x) = 2\eta_0 \sqrt{\frac{\lambda}{c_s}} \sqrt{x}$$

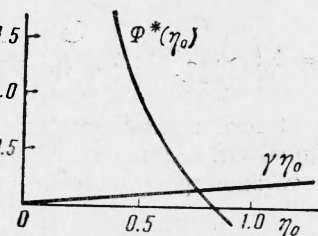
и выражения T и T_s , получим для η_0 трансцендентное уравнение

$$\Phi^*(\eta_0) = \gamma \eta_0 \quad (2.8)$$

$$\Phi^*(\eta_0) \equiv \frac{\Phi'(\eta_0)}{\Phi(\eta_0)} - \alpha \beta \frac{\Phi'(\beta\eta_0)}{1 - \Phi(\beta\eta_0)}$$

$$\Phi'(\eta_0) \equiv \frac{2}{\sqrt{\pi}} e^{-\eta_0^2}, \quad \alpha \equiv \frac{\lambda_s}{\lambda} \frac{T_* - T_0}{T_b - T_*}$$

$$\gamma \equiv \frac{2 [q - (c_s - c) T_* - q T_0]}{c (T_b - T_*)}$$



Фиг. 2

Решение уравнения (2.8) удобнее всего проводить графически, откладывая на графике функции $\Phi^*(\eta_0)$ и $\gamma\eta_0$ в зависимости от η_0 и находя точку их пересечения. На фиг. 2 изображено решение для следующих значений параметров:

$$T_* - T_0 = 300^\circ \text{K}, \quad c_s = 0.25 \frac{\kappa \text{кал}}{\text{с} \cdot \text{град}}, \quad \lambda_s = 2 \cdot 10^{-3} \frac{\kappa \text{кал}}{\text{см} \cdot \text{сек} \cdot \text{град}}$$

$$T_b - T_* = 1800^\circ \text{K}, \quad c = 0.4 \frac{\kappa \text{кал}}{\text{с} \cdot \text{град}}, \quad \lambda = 5 \cdot 10^{-4} \frac{\kappa \text{кал}}{\text{см} \cdot \text{сек} \cdot \text{град}}$$

$$q = 50 \frac{\kappa \text{кал}}{\text{с}}, \quad \alpha = 0.63, \quad \beta = 0.668, \quad \gamma = 0.194$$

Решение дает

$$\eta_0 \approx 0.78$$

§ 3. Полученное в § 2 решение задачи о движении зоны горения, однако, не определяет скорость распространения этой зоны. В решение скорость распространения входит в качестве параметра j . С увеличением j , как легко видеть, граница газификации твердого вещества все ближе подходит к оси x — щель, образующаяся в твердом веществе сужается; при уменьшении j , наоборот, происходит увеличение ширины щели.

Автомодельное решение является, кроме того, фактически асимптотическим решением уравнений (1.1), которое смыкается с точным решением уравнений вдали от носика щели на $x = \infty$. Вблизи от носика полученное автомодельное решение отклоняется от точного, так как уже нельзя считать в этой области толщину слоя малой по сравнению с расстоянием от носика щели и пренебречь в уравнениях (1.1) членами, описывающими продольный перенос тепла. Несоответствие между автомодельным и точным решениями например, видно в том, что носик щели располагается согласно автомодельному решению в точке $x = 0$, тогда как в действительности этого не должно возникнуть из-за бесконечного градиента температуры и соответственно бесконечного потока тепла.

Найдем теперь приближенные решения уравнений (1.1) без пренебрежения продольным переносом тепла. Для этого воспользуемся методом интегральных соотношений. Выведем эти соотношения. Для этого проинтегрируем уравнение (1.1) по y от $y = l$ до $y = \infty$, а второе (1.1) по y от $y = 0$ до $y = l$ и воспользуемся правилами дифференцирования интегралов по параметру. Тогда получим, соответственно

$$jc_s \left[\frac{d}{dx} \int_l^{\infty} (T_s - T_0) dy + (T_* - T_0) \frac{dl}{dx} \right] = \quad (3.1)$$

$$= \lambda_s \left[\frac{d^2}{dx^2} \int_l^{\infty} (T_s - T_0) dy + (T_* - T_0) \frac{d^2l}{dx^2} + \left(\frac{\partial T_s}{\partial x} \right)_* \frac{dl}{dx} + \left(\frac{\partial T_s}{\partial y} \right)_{\infty} - \left(\frac{\partial T_s}{\partial y} \right)_* \right]$$

$$jc \left[\frac{d}{dx} \int_0^l (T - T_0) dy - (T_* - T_0) \frac{dl}{dx} \right] = \quad (3.2)$$

$$= \lambda \left[\frac{d^2}{dx^2} \int_0^l (T - T_0) dy - (T_* - T_0) \frac{d^2l}{dx^2} - \left(\frac{\partial T}{\partial x} \right)_* \frac{dl}{dx} + \left(\frac{\partial T}{\partial y} \right)_* - \left(\frac{\partial T}{\partial y} \right)_0 \right]$$

Здесь величины, отмеченные звездочками, относятся к границе газификации. Сложим эти уравнения и используем условие на границе (1.4), а также предположим, что $(\partial T_s / \partial y)_{\infty} = 0$. Получим

$$\begin{aligned} & j \frac{d}{dx} \left[c_s \int_l^{\infty} (T_s - T_0) dy + c \int_0^l (T - T_0) dy \right] + j(c_s - c)(T_* - T_0) \frac{dl}{dx} = \\ & = \frac{d}{dx^2} \left[\lambda_s \int_l^{\infty} (T_s - T_0) dy + \lambda \int_0^l (T - T_0) dy \right] + (\lambda_s - \lambda)(T_* - T_0) \frac{d^2l}{dx^2} - \\ & - j[q - (c_s - c)(T_* - T_0)] \frac{dl}{dx} - \lambda \left(\frac{\partial T}{\partial y} \right)_0 \end{aligned} \quad (3.3)$$

Следует ожидать, что на больших расстояниях от носика щели решение будет асимптотически приближаться к решению, полученному в пренебрежении продольным кондуктивным переносом тепла. Будем поэтому искать решение (3.3) в виде (2.6) и (2.7), где под η будем подразумевать переменную

$$\eta = \frac{1}{2} \sqrt{\frac{c_j}{\lambda}} \frac{y}{\sqrt{x + \delta(x)}}$$

Функция $\delta(x)$, входящая в η , характеризует отклонение решения от автомодельного. Естественно потребовать, чтобы $\delta(x) = o(x)$ при $x \rightarrow \infty$. Подставляя (2.6) и (2.7) в (3.3), получим нелинейное дифференциальное уравнение для зависимости $W = \sqrt{x + \delta(x)}$ от x

$$\begin{aligned} & \left[\lambda_s \int_{\eta_0}^{\infty} (T_s - T_0) d\eta + \lambda \int_0^{\eta_0} (T - T_0) d\eta + (\lambda_s - \lambda) (T_* - T_0) \eta_0 \right] \frac{d^2 W}{dx^2} - \\ & - j \left[c_s \int_{\eta_0}^{\infty} (T_s - T_0) d\eta + c \int_0^{\eta_0} (T - T_0) d\eta + (c_s - c) (T_* - T_0) \eta_0 \right. \\ & \left. + [q - (c_s - c) (T_* - T_0)] \eta_0 \right] \frac{dW}{dx} + \frac{jc}{4} (T_b - T_*) \frac{\Phi'(0)}{\Phi(\eta_0)} \frac{1}{W} = 0 \quad (3.4) \end{aligned}$$

В этом уравнении коэффициенты легко могут быть рассчитаны по известному виду функций T и T_s . Проиллюстрируем этот расчет на примере вычисления интеграла

$$\begin{aligned} & \lambda_s \int_{\eta_0}^{\infty} (T_s - T_0) d\eta = \frac{\lambda_s (T_* - T_0)}{1 - \Phi(\beta \eta_0)} \lim_{\zeta \rightarrow \infty} \int_{\eta_0}^{\zeta} [1 - \Phi(\beta \eta)] d\eta = \\ & = \frac{\lambda_s (T_* - T_0)}{1 - \Phi(\beta \eta_0)} \lim_{\zeta \rightarrow \infty} \left\{ \zeta [1 - \Phi(\beta \zeta)] - \eta_0 [1 - \Phi(\beta \eta_0)] - \right. \\ & \left. - \frac{1}{2\beta} [\Phi'(\beta \zeta) - \Phi'(\beta \eta_0)] \right\} = \lambda_s (T_* - T_0) \left[\frac{\Phi'(\beta \eta_0)}{2\beta [1 - \Phi(\beta \eta_0)]} - \eta_0 \right] \quad (3.5) \end{aligned}$$

так как

$$\lim_{\zeta \rightarrow \infty} \zeta [1 - \Phi(\beta \zeta)] = 0, \quad \lim_{\zeta \rightarrow \infty} \Phi'(\beta \zeta) = 0$$

Проводя дальнейшее вычисление коэффициентов и используя затем условие (2.8), получим

$$\frac{d^2 W}{dx^2} - a \frac{dW}{dx} + \frac{a}{2W} = 0 \quad (3.6)$$

где

$$a \equiv \frac{jc}{\lambda} \frac{\Phi'(0)/\Phi(\eta_0)}{\alpha \Phi'(\beta \eta_0) / \beta [1 - \Phi(\beta \eta_0)] + [\Phi'(0) - \Phi'(\eta_0)] / \Phi(\eta_0)} \quad (3.7)$$

Для приведения уравнения к безразмерному виду сделаем замену:

$$U = 2\sqrt{a} W, \quad \xi = ax \quad (3.8)$$

Уравнение перейдет в

$$\frac{d^2 U}{d\xi^2} - \frac{dU}{d\xi} + \frac{2}{U} = 0 \quad (3.9)$$

Решение уравнения (3.9) имеет вид (уравнение (3.9) легко сводится к уравнению, решенному Леко [2])

$$U = C_1 \Phi(p) e^{\xi}, \quad C_2 - e^{-\xi} = C_1 \Phi(p) \quad (3.10)$$

Здесь p — параметр, C_1 и C_2 — константы интегрирования.

Из вида решения из условия, что функция U при $\xi \rightarrow \infty$ ведет себя как $\sqrt{\xi}$, вытекает, что $p \rightarrow \infty$ при $\xi \rightarrow \infty$ и $C_1 = C_2$ (причем $C_1 > 0$). Используя это, перепишем (3.10) в виде

$$U = \frac{\Phi(p)}{1 - \Phi(p)}, \quad \xi + C_0 = -\ln [1 - \Phi(p)] (C_0 \equiv \ln C_1) \quad (3.11)$$

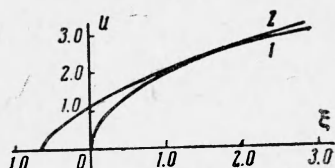
Для определения константы C_0 найдем предельный вид кривой $U(\xi)$ при $\xi \rightarrow \infty$

$$\lim_{\xi \rightarrow \infty} \frac{U^2}{\xi + C_0} = \lim_{p \rightarrow \infty} \frac{4p^2}{p^2 + \ln p - \ln 2/\sqrt{\pi}} = 4$$

Здесь было использовано асимптотическое представление

$$\int_p^{\infty} e^{-t^2} dt \approx \frac{e^{-p^2}}{2p} \quad \text{при } p \rightarrow \infty$$

Таким образом, предельный вид уравнения кривой будет такой:



Фиг. 3

$$U = 2\sqrt{\xi + C_0}$$

и, следовательно, $C_0 = 0$.

Окончательный вид решения следующий: (3.12)

$$U = \frac{\Phi'(p)}{1 - \Phi(p)}, \quad \xi = -\ln[1 - \Phi(p)]$$

Кривая (3.12) построена на фиг. 3 (кривая 1), где для сравнения нанесена также кривая $U = 2\sqrt{\xi}$ (кривая 2). Из фигуры видно, что вблизи от носика щели поверхность газификации существенно изменяет свою форму при учете продольного переноса тепла, а вдали от него приближается к автомодельной. Носик щели теперь располагается на некотором расстоянии от $x = 0$.

Газификация вещества слева от $x = 0$ происходит за счет тепла, поступающего из области, лежащей справа от $x = 0$.

§ 4. До сих пор предполагалось, что зона химической реакции может простираться по оси x вплоть до носика щели и со стороны химической кинетики не ставилось никаких ограничивающих условий. Однако в действительности химическая реакция горения прекращается на некотором расстоянии от носика щели из-за срыва диффузационного пламени. Срыв пламени происходит из-за того, что вблизи носика щели увеличивается диффузия холодного вещества в зону химической реакции и соответственно отвод из нее тепла. Скорость химической реакции уже не успевает перерабатывать диффундирующее вещество, температура в пламени понижается из-за охлаждения зоны реакции холодным веществом и пламя гаснет. Для случая плоского пламени Я. Б. Зельдович [1] установил, что существует определенный критический поток вещества M , определяемый химической кинетикой, который еще может перерабатывать химическая реакция в диффузационном пламени

$$M^2 = \zeta \rho D \left(\frac{RT_b}{E} \right)^3 k \exp \left(-\frac{E}{RT_b} \right) \quad (4.1)$$

Здесь E — энергия активации, k — предэкспоненциальный множитель в уравнении химической реакции, D — коэффициент диффузии, ζ — безразмерный множитель.

Так как потухание диффузационного пламени происходит из-за конечной скорости химической реакции, то, естественно, при срыве происходит уширение фронта пламени и падение его температуры. Однако, как показал Я. Б. Зельдович [1], уширение пламени при потухании незначительно (по порядку равно толщине зоны реакции в ламинарном пламени), а понижение температуры не выходит за пределы характеристического интервала температуры RT_b^2/E . Поэтому будем считать, что вплоть до потухания пламени зона реакции остается бесконечно тонкой, а температура пламени равной T_b .

Потребуем теперь, чтобы потухание пламени происходило именно в точке $x = 0$. Для этого приравняем поток тепла в этой точке критическому

$$-\lambda \left(\frac{\partial T}{\partial y} \right)_0 = QM \quad (4.2)$$

Здесь Q — тепловой эффект химической реакции горения продуктов разложения окислителя и горючего.

Условие (4.2) приближенно, так как оно предполагает, что потухание пламени обязано лишь поперечному оттоку тепла, тогда как в действительности от места срыва пламени тепло отводится как в поперечном, так и в продольном направлениях. Однако учет продольного отвода тепла составляет значительные трудности, так как в этом случае требуется знание критических условий потухания для пламени, не обладающего плоской симметрией.

Вычисляя тепловой поток по известному виду решения, получим соотношение для нахождения скорости распространения зоны горения

$$-\lambda \left(\frac{\partial T}{\partial y} \right)_0 = \frac{jc}{U_0} (T_b - T_*) [\Phi'(0)/\Phi(\eta_0)]^{\frac{3}{2}} \left[\frac{\alpha}{3} \frac{\Phi'(\beta\eta_0)}{1 - \Phi(\beta\eta_0)} + \frac{\Phi'(0) - \Phi'(\eta_0)}{\Phi(\eta_0)} \right]^{-\frac{1}{2}}$$

где

$$U_0 = \Phi'(0) = \frac{2}{\sqrt{\pi}} = U_0(0) \quad (4.3)$$

Таким образом

$$j = g \frac{QM}{c(T_b - T_*)} \quad (4.4)$$

Здесь

$$g = \frac{2}{\sqrt{\pi}} [\Phi'(0)/\Phi(\eta_0)]^{-\frac{3}{2}} \left[\frac{\alpha}{3} \frac{\Phi'(\beta\eta_0)}{1 - \Phi(\beta\eta_0)} + \frac{\Phi'(0) - \Phi'(\eta_0)}{\Phi(\eta_0)} \right]^{\frac{1}{2}}$$

Для значений параметров, приведенных в § 2, имеем

$$g = 0.955$$

При горении неразбавленных горючих газов при атмосферном давлении критический поток вещества составляет по порядку величины $5 \cdot 10^{-2}$ г/см²·сек. Если принять такую же величину M для горения продуктов разложения горючего и окислителя, то для скорости горения получаем оценку 0.03 см/сек.

Пользуясь полученным решением можно найти размер частиц окислителя, начиная с которого скорость горения перестает зависеть от дисперсности окислителя. Этот размер, очевидно, равен половине ширины щели в точке потухания пламени

$$\Delta = \frac{2}{\sqrt{\pi}} \frac{\eta_0}{\Phi(\eta_0)} \frac{\lambda(T_b - T_*)}{QM} \quad (4.5)$$

Для $M \sim 5 \cdot 10^{-2}$ г/см² сек получаем $\Delta \sim 0.026$ см.

Результаты теории находятся в качественном согласии с имеющимися экспериментальными данными о горении на границе твердых горючего и окислителя [3]. Так, эксперименты показывают, что для большинства систем скорость горения пропорциональна давлению, что соответствует второму порядку химической реакции. Кроме того, хорошо известен факт, что скорость распространения горения определяется условиями горения в носике щели. Скорость горения, например, меняется если для склейки окислителя с горючим применять различные виды клея.

В заключение благодарю Я. Б. Зельдовича, Г. И. Баренблatta и О. И. Лейпунского за руководство и А. Г. Истратова за помощь в работе.

Поступила 18 I 1962

ЛИТЕРАТУРА

1. Зельдович Я. Б. К теории горения неперемешанных газов. ЖТФ, 1949, вып 10, стр. 1199—1210.
2. Камке Э. М. Справочник по обыкновенным дифференциальным уравнениям. М., Физматгиз, 1961.
3. Бахман Н. Н. Предельные случаи горения смесевых систем. ДАН СССР, 1959, т. 129, № 5.